

ФАЗОВЫЙ ПЕРЕХОД ИЗОТРОПНАЯ ЖИДКОСТЬ – ХОЛЕСТЕРИЧЕСКИЙ
ЖИДКИЙ КРИСТАЛЛ; СВЯЗЬ ШАГА СТРУКТУРЫ С ОРИЕНТАЦИОННОЙ
УПОРЯДОЧЕННОСТЬЮ

Г. А. Ляков, В. А. Макаров

УДК 539.783

Показано, что отличие локальной симметрии холестерической фазы от нематической влечет возможность базового перехода второго рода в спиральную фазу с локально изотропной оптической восприимчивостью.

I. Жидкокристаллические исследования последних лет показали, что представление о локальном тождестве холестерической и нематической мезофаз малооправдано. Их различие особенно сильно проявляется в предпереходной области, для которой давно известна, в частности, возможность существования структур с дискретной симметрией /1/. Эти структуры термодинамически стабильны в узком температурном интервале (менее одного градуса) между изотропной и обычной холестерической фазами и обладают свойствами /1-4/, физически выделяющими их среди других жидкокристаллов.

Континуальная теория фазовых переходов (ФП) в ориентационно упорядоченных фазах строится на разложении плотности свободной энергии F по степеням тензорного параметра порядка $Q_{\alpha\beta} (\sim \mu)$ и его пространственных производных $\partial_\gamma Q_{\alpha\beta}$ ($\partial_\gamma \sim \mu$, $\mu \ll 1$ – символический параметр малости). Если мезогенные молекулы киральные, это разложение обычно ограничивается суммой /5/:

$$F_0 = \frac{a_1}{2} (T - T^*) Q_{\alpha\beta}^2 + \frac{a_2}{3} Q_{\alpha\beta} Q_{\beta\gamma} Q_{\gamma\alpha} + \frac{a_3}{4} (Q_{\alpha\beta}^2)^2 + \frac{a_4}{2} (\partial_\gamma Q_{\alpha\beta})^2 + \frac{a_5}{2} (\partial_\gamma Q_{\gamma\alpha})(\partial_\beta Q_{\beta\alpha}) + a_6 e_{\alpha\beta\gamma} Q_{\alpha\beta} \partial_\gamma Q_{\beta\alpha}. \quad (I)$$

В этом приближении показано существование пространственно неоднородных фаз, которые интерпретируются как экспериментально исследованные "голубые фазы" /6/. Последовательное разложение по степеням μ до μ^4 ($Q_{\alpha\beta}^4 \sim \mu^4$, $(\partial_\gamma Q_{\alpha\beta})^2 \sim \mu^4$) должно включать в дополнение к F_0 , еще одно инвариантное относительно вращений слагаемое

$$f = 2a_7 e_{\alpha\beta\gamma} Q_{\alpha\beta} Q_{\rho\sigma} \partial_\gamma Q_{\sigma\rho}, \quad (2)$$

которое тоже порядка μ^4 . Оно описывает локальное различие упорядоченности холестерина и механически скрученного нематика. В низкотемпературных фазах f мало, однако в описании "голубых фаз" его необходимо учитывать.

Содержательность учета (2) доказывает уже пример одномерной структуры. Выясняется, что в пределах ее существования возможен ФП второго рода, не изменяющий пространственно однородных компонент диэлектрической проницаемости.

2. В одномерной фазе независимы три комбинации компонент $Q_{\alpha\beta}(z)$:

$$Q = Q_{xx} + Q_{yy}, \quad M = |Q_{xx} - Q_{yy} + 2iQ_{xy}|,$$

$$\rho = \arg(Q_{xx} - Q_{yy} + 2iQ_{xy}).$$

Здесь производная от ρ пропорциональна обратному шагу спиральной структуры, Q и M характеризуют степень ориентационной упорядоченности молекул. Минимизируя $\int F dV$ в этих переменных, находим исходную для анализа систему уравнений:

$$a_4 \tilde{M} = a_1 M + a_2 Q M + \frac{a_3}{2} M(M^2 + 3Q^2) - \frac{M}{a_4} (a_6 + 2a_7 Q)^2,$$

$$(a_4 + \frac{2}{3} a_5) \tilde{Q} = a_1 Q + \frac{a_2}{6} (M^2 - 3Q^2) + \frac{a_3}{2} Q(M^2 + 3Q^2) - (3)$$

$$- \frac{2a_7}{3a_4} M^2 (a_6 + 2a_7 Q).$$

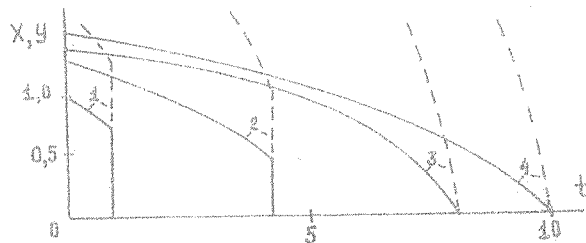
Обратный шаг спиральной структуры теперь не является независимой величиной, а связан через a_7 с ориентационной упорядоченностью Q :

$$\theta = - (a_6 + 2a_7 Q)/a_4.$$

Однородно упорядоченные структуры ($\tilde{Q} = \tilde{M} = 0$) описываются (в естественных безразмерных переменных $x = -(ba_3/a_2)Q$, $y^2 = 12a_3^2\tilde{M}^2/a_2^2$, $t = 24aa_3(T - T^*)/a_2^2$) двумя параметрами $A = 24a_3a_6^2/a_4a_2^2$ и $B = a_2a_7/3a_3a_6$ полностью определяющими характер ФИ. Температура перехода t_{tr} определяется равенством свободных энергий двух фаз:

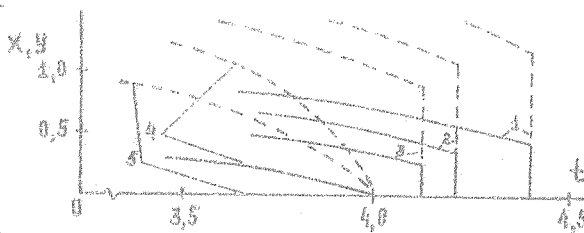
$$e_{tr}(x^2 + y^2)/2 + 2x(y^2 - x^2/3) + (x^2 + y^2)^2/4 - Ay^2(1 - Bx)^2 = 0. \quad (4)$$

Если $AB = 2$, то $x = 0$, $y = (A - t)^{1/2}$ и температура ФИ второго рода из изотропной в эту новую фазу $t_{tr} = A$. Существенно, что само появление ее обязано отличию от кулья констант a_2 (математический фазовый переход первого рода) и a_7 (локальное различие холестерика и механически спрученного нематика). От обычной холестерической фазы она отличается изотропностью пространственно однородной составляющей ее диэлектрической проницаемости.

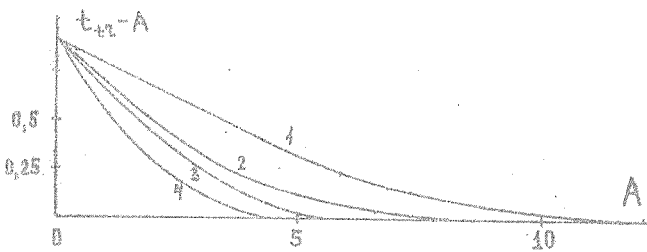


Р и с. I. Зависимость степени ориентационной упорядоченности от температуры при $B = 0$. Кривые 1 – 4 соответствуют $A = 0$; 4; 8; 10

3. На рис. 1 представлены зависимости x (сплошные кривые) и y (пунктирные) от t при $B = 0$. При $A < 3$ переход изотропной жидкости – одномерная холестерическая фаза – первого рода, при $A > 3$ – второго. Влияние B на характер ФИ показывает рис. 2. С ростом B ФИ – сначала первого рода – становится все более неравниной (t_{cr} приближается к A , величина скачка x и y стремится к нулю); начиная с определенного $B_1(A)$, происходит ФИ второго рода с практической температурой, равной A . Для $A > 3$ влияние B аналогично: при $B < B_2(A)$ имеем ФИ первого рода.



Р и с. 2. Зависимость стекки ориентационной упорядоченности от температуры при $A = 4$. Кривые 1 - 5 соответствуют $B = -0,05; 0; 0,05; 0,2; 0,5$



Р и с. 3. Линия фазового перехода при $B = -0,05; 0; 0,05; 0,1$ (соответственно кривые 1-4)

КВАЗИСТАЦИОНАРНОЕ ТОКОВОЕ РАСПРЕДЕЛЕНИЕ В
МНОГОУРОВНЕВОЙ СПИНОВОЙ СИСТЕМЕ

А. С. Бруев, В. К. Компаков

УДК 533.5

Получен вид квазистационарного распределения (КР) в многоуровневой спиновой системе при наличии источников.

Известно, что в условиях обмена квантами возбуждений существует гидродинамическая стадия релаксации, когда населенности состояний являются функциями недольшого числа медленно изменяющихся гидродинамических параметров. Наличие источников в уравнениях для населенностей состояний в общем случае приводит к искаложению соответствующей формы КР /I/.

Построим точное решение модельной задачи о нахождении вида КР в спиновой системе \mathbb{X}), когда на уровне с номером p действует постоянный положительный источник мощности η_p , а на нижнем - уровне - отрицательный источник (ток) той же мощности. В рассматриваемом случае между уровнями 0 и p в квазистационарном режиме устанавливается независящий от номера уровня ток $J = \eta / \mathbb{X}$, следовательно, КР становится функцией величины тока. Вид распределения получается из решения системы уравнений для токов. В случае многоуровневой спиновой системы имеем /I/

$$J_{n+1,n} = \frac{\eta^{01}}{1 - \xi} (n + 1)(\eta_{n+1} - \xi \eta_n) = \begin{cases} \eta, n \leq p - 1; \\ 0, n > p - 1; \end{cases} \quad (I)$$

$\mathbb{X})$ Спиновая система в асимптотическом пределе большого спинового момента эквивалентна системе гармонических осцилляторов /I/.

Полученные результаты суммированы на рис. 3, показывающем зависимость $t_{tr} - A$ от A ; кривая 2 соответствует $a_7 = 0 / 5/$. ФП второго рода соответствуют значения A (при данном B), лежащие справа от точки пересечения соответствующей кривой с осью A . С ростом B область значений A , при которых происходит ФП первого рода, сужается.

4. Новый член, учтенный нами в разложении свободной энергии, должен существенно влиять и на характер неоднородных решений системы (3), опиравшихся структурами с дискретной симметрией. Их исследование с $a_7 \neq 0$ составит предмет отдельной работы, как и экспериментальное измерение этого коэффициента. Наиболее перспективны здесь: линейнооптические методы эондирования ФП // с их возможностями локализованных измерений параметров.

Поступила в редакцию
13 октября 1982 г.

Л и т е р а т у р а

1. В. А. Балыков, А. С. Сонин, Оптика холестерических жидкокристаллов, "Наука", М., 1982 г.
2. B. M. Johnson, J. E. Flack, P. P. Crooker, Phys. Rev. Lett., **45**, 641 (1980).
3. K. Bergmann et al., Z. Naturforsch., **34A**, 253 (1979).
4. P. J. Collings, J. R. McColl, J. Chem. Phys., **62**, 3371 (1978).
5. С. А. Бразовский, С. Г. Дмитриев, ЖЭТФ, **69**, 979 (1975).
6. R. M. Horwreich, S. Shtrikman, Phys. Rev., **24A**, 635 (1981).
7. С. М. Аракелян, Г. А. Лахов, Ш. С. Чилингарян, УФН, **131**, 3 (1980).